Проблемы минералогии, петрографии и металлогении. Научные чтения памяти П.Н. Чирвинского: сборник научных статей. ПГНИУ. Пермь, 2025. Вып. 28

УДК 552.111

# **И.И. Чайковский**<sup>1</sup>, **В.А. Корякин**<sup>2</sup>, **Е.П. Чиркова**<sup>1</sup> Горный институт УрО РАН, г. Пермь <sup>2</sup>Пермский государственный национальный исследовательский университет, г. Пермь

## О МЕХАНИЗМАХ ДИФФЕРЕНЦИАЦИИ ПЕТРОГЕННЫХ И РУДНЫХ ЭЛЕМЕНТОВ В ПОЛОСЧАТО-ВКРАПЛЕННЫХ РУДАХ РУДНИКА «СКАЛИСТЫЙ» ТАЛНАХСКОГО РУДНОГО УЗЛА

Охарактеризованы полосчато-вкрапленные руды, для которых показано проявление силикатно-оксидного (оливин, шпинель, плагиоклаз) фракционирования, силикатно-сульфидной и халькопирит-пирротиновой несмесимости. Установлено накопление в сульфидном расплаве не только флюидов (Cl, P,  $\rm H_2O$ ,  $\rm O_2$ ), но и петрогенных компонентов (SiO<sub>2</sub>,  $\rm Al_2O_3$ , TiO<sub>2</sub>, FeO, MgO, CaO,  $\rm K_2O$ ) которые вызывают во вмещающих породах окисление железа, появление гидроксилсодержащих минералов и проявление различных типов метасоматических реакций, мобилизацию и пространственное перераспределение благородных металлов и халькофильных элементов.

Ключевые слова: Талнахская интрузия, вкрапленные руды, магматические и постмагматические процессы

#### DOI: 10.17072/chirvinsky.2025.167

Для выявления процессов дифференциации, проявившихся в силикатных и сульфидных расплавах, были исследованы вкрапленные руды рудника «Скалистый» с глубины около 1600 м. Талнахский интрузив является типичным представителем рудоносных массивов норильского типа, который дифференцирован от пикритовых габбро-долеритов в подошве до габбро-диоритов в кровле (ссылка). Вкрапленные руды приурочены к нижней части рудоносной интрузии (пикритовые и такситовые габбро-долериты). Исследование химического и минерального состава проводилось на сканирующем электронном микроскопе VEGA 3 LMH с системой рентгеновского энергодисперсионного микроанализа Oxford Instruments INCA Energy 250/X-max 20 (Tescan, Чехия).

В отличие от типичных «капельников» сульфидные обособления не только расслоены на пирротиновую (нижнюю) и халькопиритовую (верхнюю) части иногда пространственно разобщенные, но и вытянуты согласно неясной полосчатости габброидов, особенно крупные (рис. 1). В кровле мелких округлых и крупных вытянутых сульфидных агрегатов присутствует оторочка мелкозернистой породы шириной до 2 см,

\_

<sup>©</sup> Чайковский И.И., Корякин В.А., Чиркова Е.П., 2025

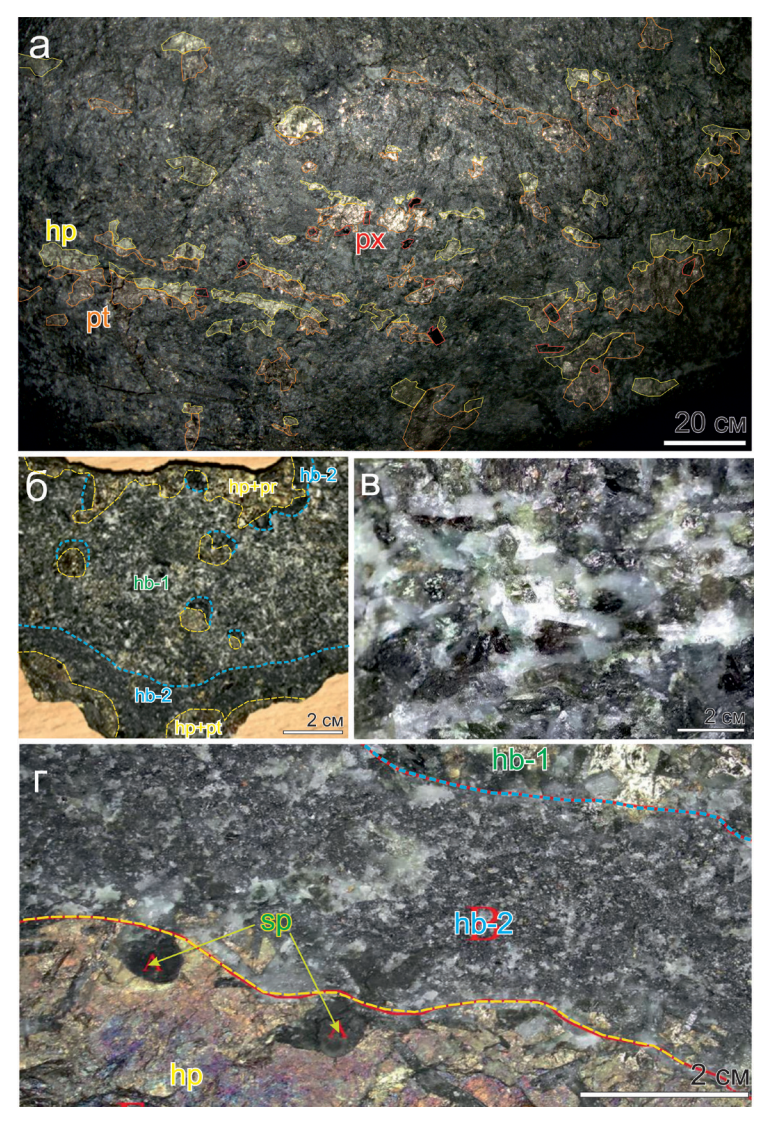


Рис. 1. Общий вид и детали строения оруденелых габброидов: а –полосчато-вкрапленные сульфидные обособления расслоившиеся на пирротиновые (pt) и халькопиритовые (hp) агрегаты и вкрапленность крупных кристаллов пироксена (px); б – взаимоотношение троктолита (hb-1), сульфидных обособлений и ореола мелкозернистой метасоматической породы (hb-2) над ними; в – детали строения троктолита; г- сферолиты серпентина (sp) на контакте халькопирита и метасоматической породы

образование которой Э.М. Спиридонов [4] связывает с воздействием на основную породу флюида, отделившегося от сульфидного расплава.

Основная масса габброида сложена среднезернистыми неясными темными и светлыми полосами, позволяющими отнести породу к троктолиту (рис. 2). Первые представлены зернами трещиноватого субизометричного оливина и шпинелью со сглаженными очертаниями, вторые — битовнитом. Кроме того отмечены отдельные зерна энстатита и его реакционные каймы с магнетитом на оливине, актинолит (с магнетитом) по оливину, изометричные зерна ильменита с фрагментами магнетитовой каймы, мелкие каплевидные агрегаты сульфидов (пирротина, халькопирита, петландита). Ксеноморфный хлорапатит отмечается

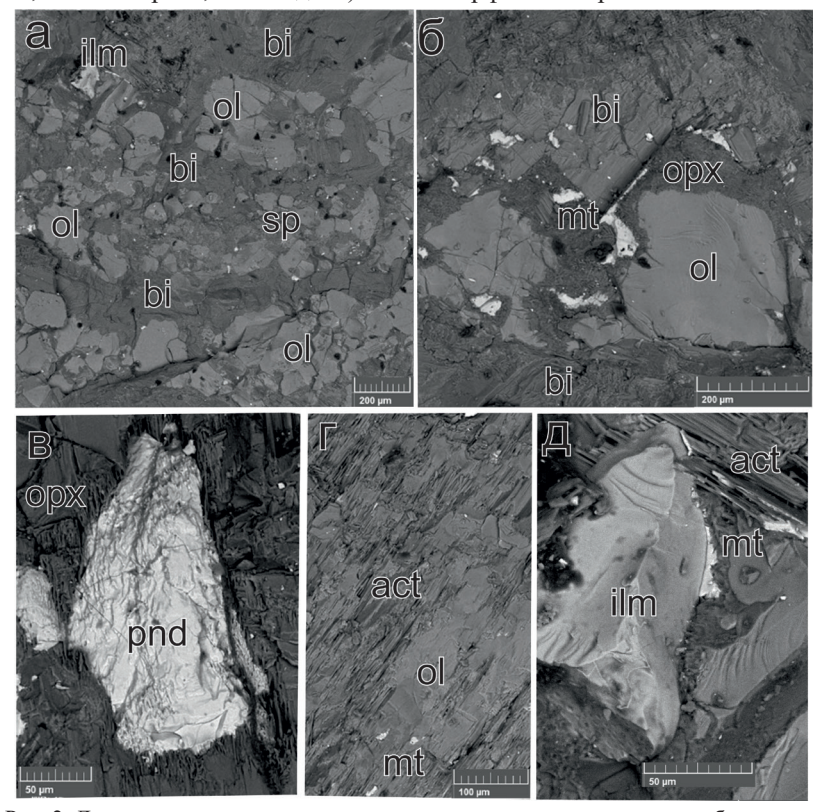


Рис. 2. Детали строения троктолита: а — неясно полосчатое строение, обусловленное неравномерным распределением оливина (ol), шпинели (sp) и битовнита (bi); б — раекционная кайма ортопироксена (opx) и магнетита (mt) на оливине; в — коррозионные отношения ортопироксена и пентландита (pnd); г — актинолит (act) и магнетит по оливину; д — магнетитовая кайма на ильмените (ilm)

в виде отдельных зерен, но чаще тяготеет к сульфидным обособления (пирротиновым и халькопиритовым).

Мелкозернистые каймы над сульфидными обособлениями содержат наряду с реликтовыми минералами троктолитов (оливин, шпинель, ильменит) собственные: анортит, халькопирит, флогопит и серпентин (табл. 1, рис. 3). Оливина становится существенно меньше (за счет замещения актинолитом, серпентином и флогопитом), а доля реликтовой шпинели увеличивается. Здесь же отмечен магнетит с вростками бадделеита. Мелкозернистые породы по сравнению с исходными обеднены кремнием, кальцием и натрием (табл. 2, рис. 4)

Таблица 1 Сопоставление кристаллохимических формул минералов в первичной породе и измененных оторочках

	Реальная формула				
Минерал	Среднезернистая основная масса	Мелкозернистая оторочка			
Оливин	Fo <sub>72</sub>	Fo <sub>70-73</sub>			
Плагиоклаз	An <sub>71</sub>	$An_{91}$			
Энстатит	$(Fe_{0,32\cdot0.49}Ca_{0,02}Mg_{1,50\cdot1.62} \\ Na_{0,02\cdot0.09})Si_{1,91\cdot2\cdot07}O_{6}$	-			
Ильменит	$(Fe_{0,88-0,99}Mg_{0,06-0,18}Mn_{0,02-0,04})$ $(Ti_{0,97}V_{0,01})O_3$	-			
Шпинель	$(Mg_{0,67}Fe_{0,15})(Al_{1,85}Fe_{0,31})O_4$	$(Mg_{_{0,65}}Fe_{_{0,17}})(Al_{_{1,82}}Fe_{_{0,34}})O_{_{4}}$			
Актинолит	$(Ca_{1,41}Na_{0,41})(Mg_{3,63}Fe_{1,37})(Al_{1,-}$ $_{21}Si_{6,83}O_{22,6}(Cl_{0.08}OH_{1,92})$	+			
Хлорапатит	Ca <sub>4,85-4,96</sub> (P <sub>2,93-3,11</sub> O <sub>12</sub> ) (Cl <sub>0,95-0,96</sub> )	-			
Фторапатит	$Ca_{4,89-5,34}(P_{3,12}O_{11,54-11,99}) (Cl_{0,12}$ $_{0,39}F_{0,50-0,60}OH_{0,38})$	-			
Пирротин	Fe <sub>0,90-0,98</sub> S <sub>1,01-1,1</sub>	-			
Пентландит	$(Fe_{4,36}Ni_{4,27})S_{8,37}$	-			
Халькопирит	1,000 1,000	$Cu_{0,91-0,96}Fe_{0,99-1,03}S_{2,01-2,10}$			
Серпентин	-	$\begin{aligned} &(Mg_{2,71-2,86}Fe_{0,08-0,14})\\ &(Si_{1,96-2,01}Al_{0,03-0,07}O_{4,87-5,18})\\ &(Cl_{0,02-0,08}OH_{3,92-3,98}) \end{aligned}$			
Флогопит	-	$\begin{split} &(K_{0,63-0,87}Na_{0,11-0,16})\\ &(Mg_{2,38-2,86}Ti_{0,04}Fe_{0,56-0,76})\\ &(Si_{2,87-3,54}Al_{1,31-1,63}O_{16})\\ &(Cl_{0,12}OH_{1,88}) \end{split}$			

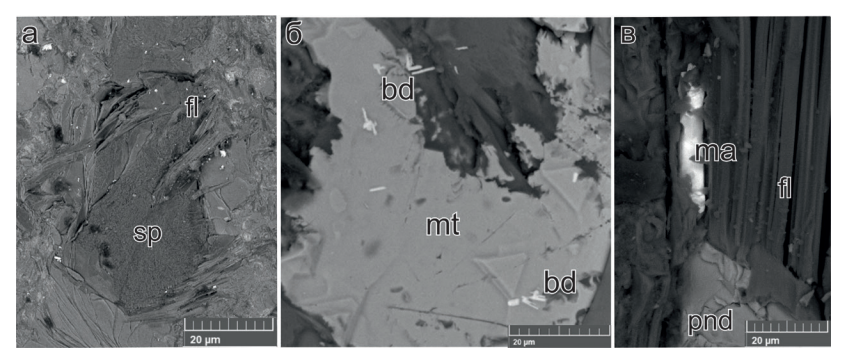


Рис. 3. Детали строения метасоматической породы: а – псевдоморфозы серпентина (sp) и флогопита (fl) по оливину; б – магнетит (mt) с вкрапленностью бадделеита (bd); в – майчнерит (ma) в флогопите вблизи пентландита (pnd)

Таблица 2 Результаты валового анализа крупнозернистого троктолита (кз) и мелкозернистой метасоматической породы (мз), мас. %

КЗ	МЗ			
43,57	44,93			
20,70	15,62			
0,23	0,23			
9,25	14,09			
9,14	8,85			
6,59	7,26			
0,16	0,13			
6,48	5,40			
1,61	0,75			
0,88	1,37			
0,62	0,50			
0,57	0,65			
0,19	0,32			
	43,57 20,70 0,23 9,25 9,14 6,59 0,16 6,48 1,61 0,88 0,62 0,57			

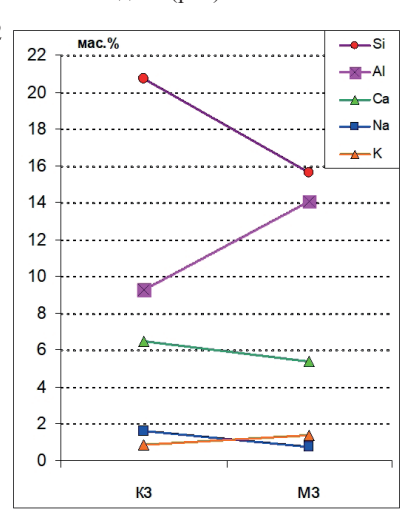


Рис. 4. Поведение элементов в процессе метасоматоза базитов на контакте с сульфидными обособлениями

В крупных сульфидных обособлениях отмечены укрупненные зерна плагиоклаза замещенного по перефирии хлоритом, а также поздние секущие прожилки флогопита (рис. 5). На границе с мелкозернистой породой отмечены сферолиты серпентина враставшие в сульфидную массу. По периферии мелких изометричных сульфидных «капель» нередко отмечаются кристаллы ильменита, вростки апатита (рис. 6).

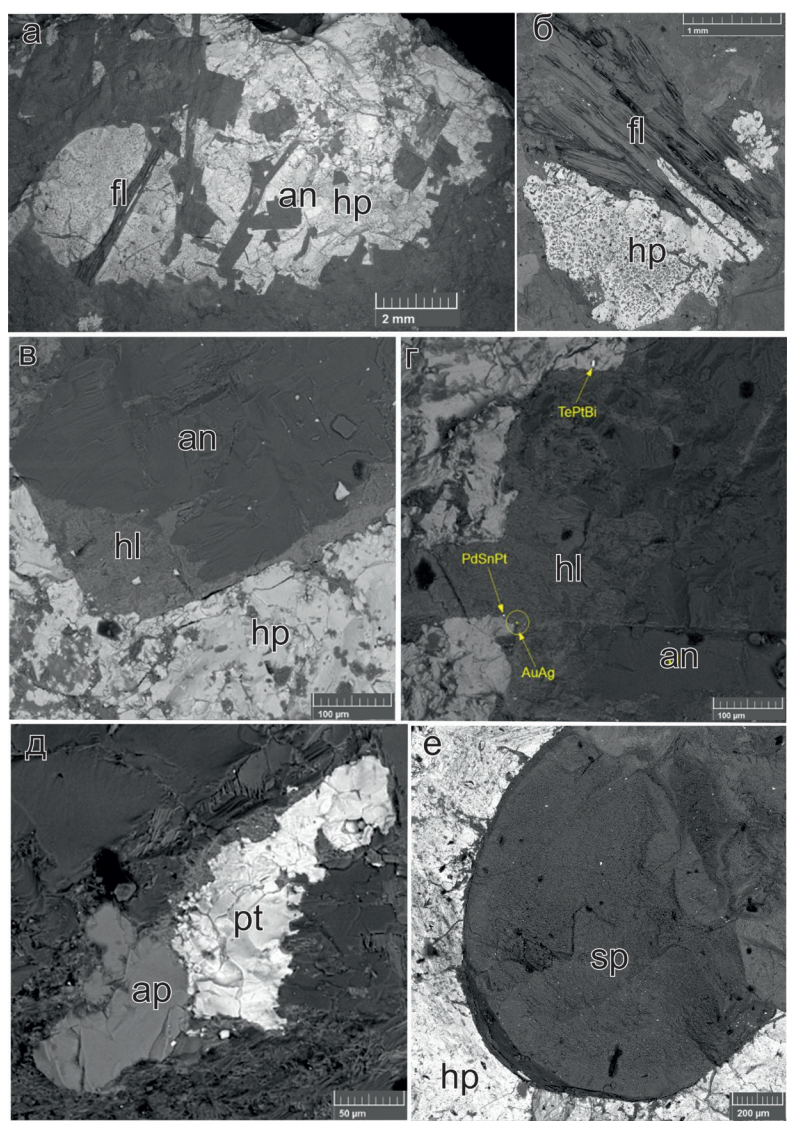


Рис. 5. Минералы приуроченные обособлениям сульфидов; а – крупное выделение халькопирита (hp) с вростками флогопита (fl) и анортита (an); б – сросток флогопита и халькопирита; в,  $\Gamma$  – реакционная хлоритовая кайма (pд) на вростке анортита (an) в сульфидной массе и приуроченные к ней включения электрума (Au,Ag), рустенбургита (Pd,Pt,Sn) и мончеита (Te,Pt,Bi); д – хлорапатит (ap) на контакте с пирротином (pt); е – сферолит серпентина (sp) врастающий в скопление халькопирита

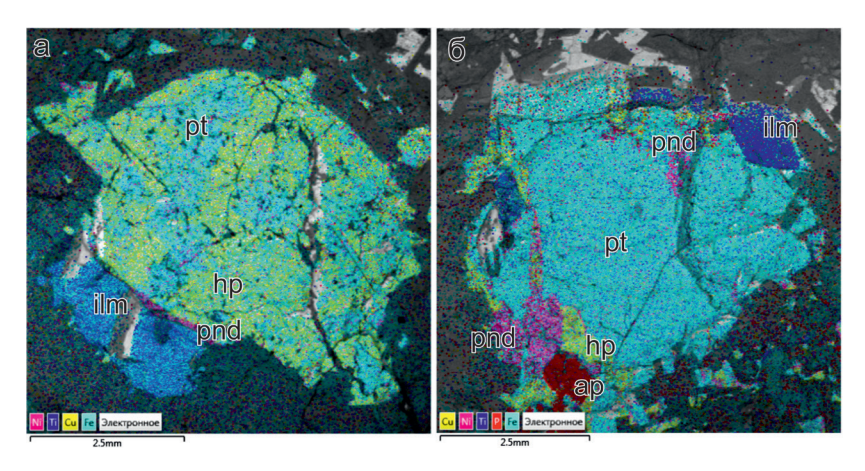


Рис. 6. Мелкие каплевидные сульфидные обособления (a, б) и их минералы: пирротин (pt), халькопирит (hp), пентландит (pnd), хлор-апатит (ap) и ильменит (ilm)

Во вкрапленных рудах зафиксировано большое число микровключений (0,2-2 мк) интерметаллидов, теллуридов, сульфидов и оксохлоридов, большинство из которых локализовано в пределах пирротина, халькопирита и пентландита или вблизи них (табл. 3).

 Таблица 3

 Реальные формулы микроминералов и их пространственная локализация

Минерал- включение	Реальная формула		Вмещающий минерал*				
		1	2	3	4	5	
Паоловит	Pd <sub>1,33-1,34</sub> Sn <sub>0,65-0,67</sub>	+					
Рустенбургит	$(Pt_{0,25-0,26}Pd_{2,41-2,44})Sn_{1,30-1,34}$	+					
?	$Pb_{1,03-1,26}Ag_{1,07-1,40}Se_{0,94-1,14}Te_{0,52-0,63}$	+					
Pd-Мончеит	$Pd_{0,92}Pt_{0,04-0,19}(Te_{0,84-0,85}Bi_{0,78-0,79}As_{0-0,26})$	+			+		
Майчнерит	$Pd_{1,01-1,03}Bi_{0.95}Te_{1,02-1,04}$	+	+				
Гессит	$Ag_{1.92-2.07}Te_{0.93-1.08}$	+	+	+			
Котульскит	$Pd_{1,02-1,13}(Te_{0,36-0,70}Bi_{0,48-0,61}Sn_{0-0,14})$		+				
Галенит	PbS		+				
Бисмуклит	$Bi_{0.99}Cl_{1.02}O_{0.99}$		+				
Мончеит	$Pt_{0.92-1.04}(Te_{1.56-1.61}Bi_{0.43-0.76})$		+	+			
Сопчеит	$Ag_{3,02-3,33}Pd_{3,35-3,54}Te_{4,30-4,43}$			+			
Соболевскит	$Pd_{0.94-0.96}Bi_{0.82-0.83}Te_{0.03-0.15}Sb_{0.06-0.07}$			+			
Электрум	$\mathrm{Au}_{0.510.60}\mathrm{Ag}_{0.400.49}$			+		+	

<sup>\* 1-</sup>пирротин, 2-халькопирит 3- пентландит, 4-флогопит, 5-энстатит

Общие текстурные особенности руд, реальные кристаллохимические формулы минералов и их пространственные взаимоотношения позволяют показать проявление следующих процессов.

- 1. Наличие шпинели в описываемых рудах говорит о пересыщении глиноземом, вероятно связанным с фракционной природой самих троктолитов.
- 2. Вытянутость крупных сульфидных обособлений вдоль неясной полосчатости и их расслоение на пирротиновую и халькопиритовую части, иногда пространственно разобщенные, говорит о преобладании на руднике «Скалистом» латерального течения расплава и проявлении силикатно-сульфидной и пирротин-халькопиритовой жидкостной несмесимости уже во время течения. О постепенном затвердевании расплава во время течения может говорить трещиноватость части зерен оливина.
- 3. Замещение оливина ортопироксеном и магнетитом в троктолите идущее с уменьшением желизистости ( $f_{ol}$ -28,  $f_{opx}$ -21), свидетельствует о проявившемся после кристаллизации основной силикатной массы окислении и может быть описано формулой:

$$3Fe_{3}SiO_{4} + 3Mg_{3}SiO_{4} + O_{5} \rightarrow 2Fe_{3}O_{4} + 3Mg_{3}Si_{5}O_{6}$$
 [5]

- $3Fe_2SiO_4 + 3Mg_2SiO_4 + O_2 \rightarrow 2Fe_3O_4 + 3Mg_2Si_2O_6$ , [5]. 4. Замещение оливина (f-28) актинолитом (f-27) подтверждается незначительным количеством образовавшегося магнетита и отражает привнос флюида с кальцием, алюминием, хлором и гидроксил-ионом.
- 5. Коррозионные взаимоотношения пироксена и пентландита в троктолите отражает сульфидизацию (замещение) образовавшихся железистых силикатов.
- 6. Тяготение хлор-апатита к сульфидным обособлениям в троктолите отражает растворимость фосфата кальция в пирротиновом и халькопиритовом расплаве и его отделение при остывании.
- 7. Замещение оливина флогопитом (f-20) и серпентином (f-4) в мелкозернистой породе в кровле сульфидных обособлений и субизометричных «капель» отражает поступление из сульфидного расплава воды, калия и алюминия. Исчезновение первично-магматического битовнита и образование вторичного анортита может говорить о происходящем при хлоридно-калиево-глиноземистом метасоматозе выносе натрия. Сопоставление валовых составов первичной среднезернистой породы и вторичной мелкозернистой оторочки, говорит о том, что при при замещении выносятся еще и кремний с кальцием.
- 8. Реакционное замещение плагиоклаза железистым хлоритом в центре крупного сульфидного обособления свидетельствует о «сбросе» оксидного железа из сульфидного расплава в силикатную фазу. Рост сферолитов серпентина во внутрь сульфидного расплава, говорит о том, что из сульфидного флюида выносились также кремний, магний, хлор и вода. Об отделении из сульфидного расплава еще и калия с кремния

свидетельствует рассечение сульфидных обособлений более поздним флогопитом. Вероятно, с фракционированием оксидных железа и титана, может быть связано образование ильменита по периферии изометричных сульфидных «капель».

9. Пространственная локализация микроминералов показывает, что для различных сульфидов (и силикатов) характерен свой набор минералов, однако только золото в составе электрума тяготеет к пентландиту. Минералы остальных элементов (Ag, Pd, Pt, Pb, Sn, Bi, Te, Se) не проявили определенной геохимической связи с пирротином, халькопиритом или пентландитом, что может говорить об их кристаллизации не из расплава на магматической стадии, а из флюидов на некотором расстоянии от исходного субстрата.

Описываемые вкрапленные руды свидетельствуют о сложной истории их формирования и проявлении разнообразных процессов силикатно-оксидного (оливин, шпинель, плагиоклаз) фракционирования, силикатно-сульфидной и халькопирит-пирротиной несмесимости, накопления в сульфидном расплаве не только флюидов (хлор, фосфор, вода, кислород?), но и петрогенных компонентов (SiO $_2$ , Al $_2$ O $_3$ , TiO $_2$ , FeO, MgO, CaO, K $_2$ O) которые вызывают окисление, гидролиз и различные типы метасоматических реакций, мобилизацию и пространственное перераспределение малых элементов (Ag, Pd, Pt, Pb, Sn, Bi, Te, Se).

Процессы окисления, проявленные в оливин-содержащих магматитах объясняются реакцией диссоциации воды, которая может проникать в магматический комплекс в эпоху растяжения и высокотемпературной гидратации [1, 2]. Однако диссоциация воды ведет не к окислению, а образованию гидроксил-содержащих силикатов (серпентинов, амфиболов, хлоритов и др.) и Н+, который приводит к образованию самородных минералов (аваруит, медь, золото и др.), что было показано М.И. Новгородовой [3]. Представляется, что наличие обильной магнетитовой вкрапленности в массивных сульфидных рудах, описываемой как результат взаимодействия сульфидного расплава с силикатными породами [4], может являться результатом перехода кислорода растворенного в сульфидном расплаве в свободную форму. Кроме кислорода в нем присутствуют и оксиды, из которых кристаллизуются, дорастают (и замещаются) плагиоклазы и флогопит. Магнетит в самих габброидах, вероятно, формируется неоднократно за счет формирования вторичных минералов с убывающей железистостью ( $f_{act}$ -27,  $f_{opx}$ -21,  $f_{flog}$ -20,  $f_{serp}$ -4). Наличие относительно низкокремнистых мелкозернистых фло-

Наличие относительно низкокремнистых мелкозернистых флогопит-анортитовых шапок над сульфидными обособлениями отражает проявление специфического метасоматоза габброидов — калиевого, обескремнивающего.

Библиографический список

- 1. *Ефимов*  $^{4}$  А. $^{4}$ . Платиноносный поясУрала: тектоно-метаморфическая история древней глубинной зоны, записанная в ее фрагментах //Отечественная геология. 1999. № 3, с. 31-39
- 2. Ефимов А.А., Малич К.Н. Магнетит-ортопироксеновые симплекситы в уральских оливиновых габбро: структурный след реакций окисления в связи с процессом водного метаморфизма. Ежегодник ИГиГ УрО РАН, Екатеринбург, 2007. с. 159-164
- 3. *Новгородова М.И.* Самородные металлы в гидротермальных рудах. М.: Наука, 1983. 288 с.
- 4. *Спиридонов Э.М. Гриценко Ю.Д.* Эпигенетический низкоградный метаморфизм и Co-Ni-Sb-As минерализация в Норильском рудном поле. –М.: Научный мир, 2009. 218 с.
- 5. Muir I.D., Tilley C.E. Contribution to the petrology of Hawaiian basalts, I. The picritic basalt of Kiauea //Am. J. Sci. 1957. V. 255.p. 241-253.

## ON THE MECHANISM OF DIFFERENTIATION OF PETROGENIC AND ORE ELEMENTS IN BANDED-DISSEMINATED ORES OF THE SKALISTIY MINE OF THE TALNAKH ORE CLUSTER

### I.I. Chaikovskiy, V.A. Koryakin, E.P. Chirkova

ilya@mi-perm.ru

The banded-disseminated ores are characterized, for which the manifestation of silicate-oxide (olivine, spinel, plagioclase) fractionation, silicate-sulfide and chalcopyrite-pyrrhotite immiscibility is shown. It has been established that the sulfide melt accumulates not only fluids (Cl, P, H<sub>2</sub>O), but also petrogenic components (SiO<sub>2</sub>, Al<sub>2</sub>O<sub>3</sub>, TiO<sub>2</sub>, FeO, MgO, CaO, K<sub>2</sub>O), which cause iron oxidation, the appearance of hydroxyl-containing minerals and various types of metasomatic reactions, mobilization and spatial redistribution of noble metals and chalcophile elements.

Keywords: Talnakh intrusion, disseminated ores, magmatic and postmagmatic processes